

电工基础

中 册

电工原理教研组编

西安交通大学

1963. 1

序 言

本冊為電工基礎課程中的非線性電路部分，共分五章。由於非線性電路中所發生的現象以及分析的方法都與線性電路有較大差別，所以在體系的安排上也有所不同。這樣的體系僅是初步嘗試，欠妥之處恐不在少數，只有在試用過程中不斷改進。

在內容方面，總的說來較教學大綱所規定的要略多一些。有些內容是供參考的，並不要求在課內講授，也不要求同學作為課程規定內容來掌握。所以把它們列入，主要是考慮到目前的因材施教以及同學們日後進一步深入參考所需。

由於採取集體討論，分工負責編寫的方式，同時又因時間緊迫，最後不及很細致地審閱訂正，因此不同部分在語氣上以及在某些問題的提法上前后不統一或甚至互相出入的地方將不在少數。請使用本詳義的同志們和同學們，多提批評與改正的意見，以便修改時參考。

本冊由邱关源、范丽娟、夏承銓三同志編寫，具體分工為第一章，第四章 § 4-1—§ 4-5（夏），第二章，第三章（范），第四章 § 4-6，§ 4-7，第五章（邱）。

南安交大電工原理教研組

一九六二年五月

电工基础

(非线性电路部分)

目 录

第一章 非线性电路概论	(1)
§ 1-1 引论	(1)
§ 1-2 非线性电阻元件	(3)
§ 1-3 非线性电感元件	(9)
§ 1-4 非线性电容元件	(12)
第二章 具有非线性电阻的电路	(17)
§ 2-1 非线性电阻电路的图解法	(17)
§ 2-2 具有一个或两个非线性电阻复杂电路	(21)
§ 2-3 非线性电阻的有条件线性化	(28)
§ 2-4 简单的整流电路	(36)
§ 2-5 非线性直流电路平衡状态的稳定性	(30)
§ 2-6 非线性电阻电路中的重复性过渡过程	(35)
第三章 磁路与铁芯线圈	(43)
§ 3-1 磁路与磁路定律	(43)
§ 3-2 直流磁路的计算	(48)
§ 3-3 具有永久磁铁的简单磁路	(57)
§ 3-4 交变磁通下的铁芯损失	(60)
§ 3-5 交流磁路中电流和磁通的波形	(70)
§ 3-6 频率三倍器	(74)

§ 3-7 交流磁路的計算	(76)
§ 3-8 鐵芯線圈	(78)
第四章 含有非線性電感或非線性電容的電路	(82)
§ 4-1 鐵共振	(82)
§ 4-2 帶有控制繞組的鐵芯線圈	(89)
§ 4-3 磁放大器	(94)
§ 4-4 鐵磁頻率二倍器	(95)
§ 4-5 含有非線性電容的電路	(97)
§ 4-6 鐵芯線圈接到直流電壓，非線性電路中過渡過程 的計算方法	(98)
§ 4-7 鐵芯線圈接到正弦電壓	(106)
第五章 相平面	(110)
§ 5-1 研究非線性電路的相平面方法	(110)
§ 5-2 等傾線法	(119)

第一章 非线性电路概论

§ 1-1 引论

§ 1-3 非线性电感元件

§ 1-2 非线性电阻元件

§ 1-4 非线性电容元件

§ 1-1 引 論

[1] 由线性元件所构成的电路称为线性电路。线性元件的参数 r 、 L 、 C 与电流或电压无关。

要知道，“线性元件”和“线性电路”只不过是一种科学抽象，实际存在的电路元件和电路都是非线性的。非线性电路元件的参数 r 、 L 、 C 是电流或电压的函数。

含有非线性电路元件的电路称为非线性电路。

在工程中，有很多电路虽然严格地说是非线性的；但其非线性程度却那样微弱，以致略去非线性的特点而采取线性化的处理时，还能得到足够准确的结果。这就是为什么我们要研究线性电路的一个重要原因。

但是，在工程实际中也有不少电路，其非线性程度是比较强烈的。这时若采取线性化的处理方法，便得不到正确的结论，甚至会完全不符合实际情况。值得注意，在某些非线性电路中所发生的一些现象，从原则上讲，是不能出现在线性电路之中的，例如：自激振荡、跳跃现象、高次谐波与子谐波响应、整流、稳压、稳流、放大、调制、检波、变频等等。如果不考虑电路的非线性特征，那么便无法了解上述现象。

[2] 为了研究非线性电路，必须根据基尔霍夫定律列出电路的方程式；这些方程是一组非线性微分方程。而对于非线性微分方程，在目前还没有普遍有效的方法去求解。

在转向非线性电路的分析时，自然要发生一个问题：从前所学过的那些线性网络的理论，能否用于非线性电路之中？这是一个需要慎重考虑的问题。这里有一个很重要的情况，那便是：叠加原理不适用于非线性系统。然而，在线性网络理论中，很多定理或方法都涉及到叠加原理。所以，关于线性网络理论在非线性电路中的适用性的問題，应当一一审定。

应当指出，迴路电流法和对偶电压法都不能用以求解非线性电路。等效发电机定理在一般情况下不适用于非线性电路。在非线性电路中没有互易特性。富氏积分、拉氏或海氏变换对于求解非线性电路的过渡过程并无帮助。

对偶原理本不限于线性电路，不过，在非线性电路中；对偶元件的非线性特性也应彼此对偶；否则便不能运用对偶原理。

3] 为了分析发生在非线性电路中的种种现象，我们希望解出相应的非线性微分方程。然而，非线性微分方程的完整解答往往求不出来。所以，我们要求助于近似计算。近似计算通常是从定性分析着手，在得到了有关问题的全局分布、可能现象等方面的知识以后，进而借助于定量分析的方法求出准确的数字答案。图解法与数字计算法是计算非线性电路的主要方法。实验研究在非线性电路的分析中占据十分重要的地位，有时，解答的形式要靠实验的结果来确定。

人们在非线性微分方程方面的研究工作，已经进行了许多年，算起来，前后已有 80 余年的历史。

法国数学家庞卡莱 (H. Poincaré) 和俄国数学家李雅普诺夫 (A. M. Ляпунов) 分别在上世紀 30 与 90 年代間，对非线性微分方程进行了巨大的工作。他们二位是微分方程定性論方面的奠基人。当时他们所关心的是有关天体运动方面的問題。本世紀初，荷兰学者范德坡 (B. van der Pol) 分析了三极管振荡器的自激过程，他还提出了一种求解强迫振动系统周期解答的方法（后来称为范德坡方法）。

本世紀三十年代，苏联学派兴起。莫斯科学派中的芒策尔特塔姆 (Л. И. Мандельштам)、巴巴列克西 (Н. Л. Папалекси)、安德罗諾夫 (А. А. Андронов)、维特 (А. А. Витт)、哈依金 (С. Э. Хайкин) 以及基辅学派中的克雷洛夫 (Н. М. Крылов)、博戈柳博夫 (Н. Н. Богоюбов) 等氏对非线性电路的过渡过程和自激振盪等方面进行了一系列开拓性的工作。苏联学派紧密联系实际，他们围绕着无线电电子学、自动控制、自动调整等近代学科进行非线性电路的研究工作。苏联学派继承并发展了庞卡萊与李雅普諾夫的工作，同时又大大发展了范德坡方法。

4] 人们对非线性电路的研究，从线性化的处理开始，进而采取非线性分析的方法去研究一些独特的电路現象，現在已經进入主动利用非线性电路的阶段。人们创造出大量的非线性元件，去实现种种的控制目的。

无线电电子学、自动控制、自动调整以及计算技术等现代学科，对非线性电路的理论与实际提出一系列的要求。这正是非线性理论发展的动力和源泉。

最近十余年来，新材料和新元件不断涌现。例如出现了：晶体三极管、隧道二极管以及其他半导体元件；超冷管^{*}；具有矩形迴线特性的铁芯线圈和电容器等等。

快速数字计算机要求元件的动作速度更进一步提高，同时还希望元件的尺寸更进一步微型化。因此，电阻和电感元件有采用薄膜材料的趋势。

§2. 非线性电阻元件

1] 电阻元件的特性，是用加在元件两端的电压 u 与流过元件的电流 i 之间的关系来说明的。

对于线性电阻元件， u 与 i 之间具有正比关系： $u = ri$ 。其中电阻 r 不随 u 或 i 变化。

而对于非线性电阻元件， u 与 i 之间则具有非线性的函数关系： $u = f(i)$ 。这个函数关系常称为伏安特性。

元件的伏安特性是从实验中测量出来的，因此，通常用一条曲线来表示，而不是采用解析表达式。

图 1-1 和 1-2 分别表示线性与非线性电阻的伏安特性曲线，伏安特性通常有两种画法，一种是以 u 为横坐标， i 为纵坐标，另一种是 i 为横坐标， u 为纵坐标。图中还绘出它们的电路符号图。

2] 定义非线性电阻元件的静态电阻 r_0 为：

$$r_0 = r_s = \frac{u}{i}$$

在非线性电阻元件中，由于 u 和 i

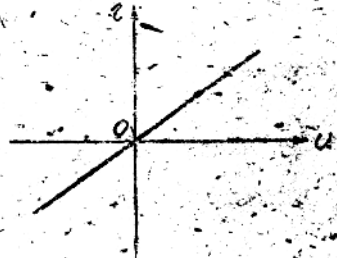


图 1-1

* Cryotron 这个英文字系已故的 D.A. Buck 所创（1956 年正式见于文献）。我国有人把它译作“冷子管”；但自然界中并无“冷子”这种粒子。故为避重就轻起见，在此采用“超冷管”这一译名。超冷管的结构与工作原理见本章末尾的注。

之間沒有正比关系，故 $r_{\text{静}}$ 并非一个常量，而是隨 u 或 i 变化的一个量。

从图1-2可以看出， $r_{\text{静}}$ 正比于 $\tan\alpha$ ，即：

$$r_{\text{静}} = r_s = \frac{u}{i} = \frac{m_u}{m_i} \tan\alpha$$

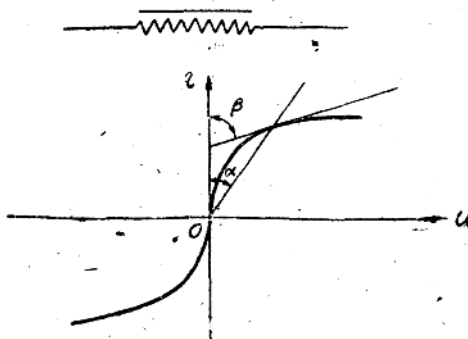


图 1-2

其中 m_u 和 m_i 分別表示电压与电流的标度。

为了說明在变动情况下电压与电流之間的相互关系，茲定义非線性电阻元件的动态电阻 $r_{\text{动}}$ 为：

$$r_{\text{动}} = r_d = \lim_{\Delta u \rightarrow 0} \frac{\Delta u}{\Delta i} = \frac{du}{di}$$

自然， $r_{\text{动}}$ 也是一个随 u 或 i 而变的量。从图1-2可以看出， $r_{\text{动}}$ 正比于 $\tan\beta$ ，即：

$$r_{\text{动}} = r_d = \frac{du}{di} = \frac{m_u}{m_i} \tan\beta$$

应当指出，此处所謂动态电阻，仍然是从静态特性曲线上求出来的。一般所談的伏安特性都是指静态伏安特性而言；静态伏安特性是在直流条件下测量出来的。但是，在频率比較高时，静态特性和动态特性可能有比較显著的差別。这种差别的产生，一方面是由于元件的分布电容和分布电感的影响，另一方面也由于元件的惯性所致。

可見，我們在静态特性上所定义的动态电阻，只能用来处理那些变化速率并不十分快的过程。

3] 对于无源电阻元件，因为 u 与 i 同方向，故 $r_{\text{静}}$ 总是正的，但

是，¹ 动却可正可负。例如，图 1-2 所示的那种伏安特性，其动态电阻是正的，而图 1-3 所示的伏安特性，其动态电阻却是负的。显然，负动态电阻说明伏安特性曲线具有下倾的线段。

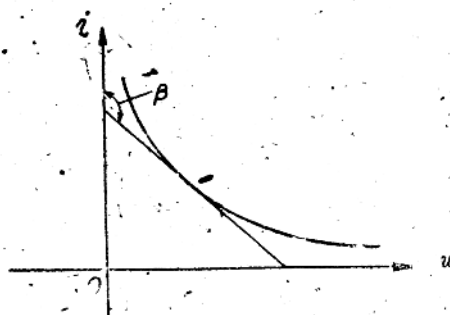


图 1-3

1) 非线性电阻元件的伏安特性取决于元件内部所发生的物理过程。

依照特性曲线是否对称于原点，非线性电阻元件可以分为对称的和不对称的两种。属于对称特性的有：矽砾陶（тирит）、相同电极间的电弧等。属于不对称特性的有：各类电子管与晶体管、辉光管与闸流管、汞弧整流器、硒整流器、氧化铜整流器等。

图 1-4 和 1-5 分别表示矽砾陶与电弧的伏安特性。

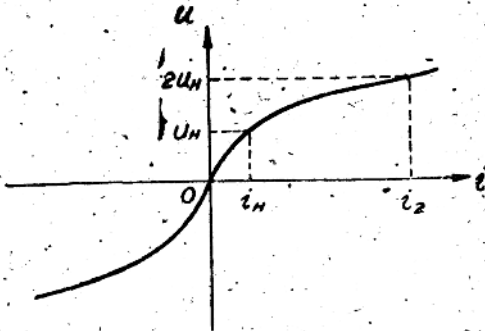


图 1-4

图 1-6, 和 1-7 分别表示热电真空二极管与辉光管的伏安特性。

图 1-8、1-9 和 1-10 分别表示晶体二极管、氧化铜整流器以及汞弧

整流器的伏安特性。

图1-8,1-9与1-10

的伏安特性表明，这类不对称元件的反向电阻远远大于正向电阻，也就是说，它们具有单向导电性。单向导电性常常用来实现整流之目的，亦即利用这类元件把交流变成直流。

此外，依照元件对交流反应的快慢，非线性电阻元件又可以分为惯性的和非惯性的两种。前面所介绍的那些元件，在频率不很高时，都可以看作是非惯性的非线性电阻元件，它们的电阻随着电流与电压的瞬时值变化。在非惯性电阻元件中，由于瞬时值之间存在有非线性关系，故 u 与 i 不能同时保持正弦的波形。在惯性电阻元件中，电阻的大小不能作迅速的变化。例如，白炽灯便是这种元件，它具有较大的热惯性。当灯丝电流按照工频变化时，灯丝温度来不及跟随电流的瞬时值变化。所以，在一个周期内，灯丝温度实际上是一不变的。灯丝电阻取决于灯丝温度，

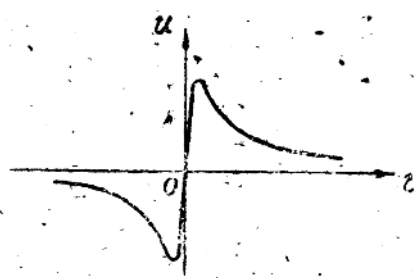


图 1-5

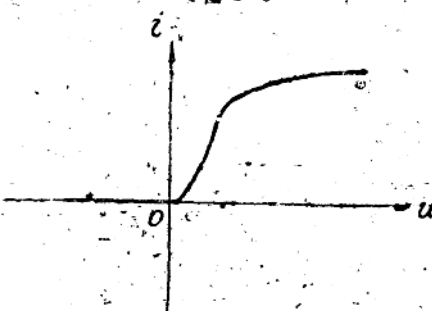


图 1-6

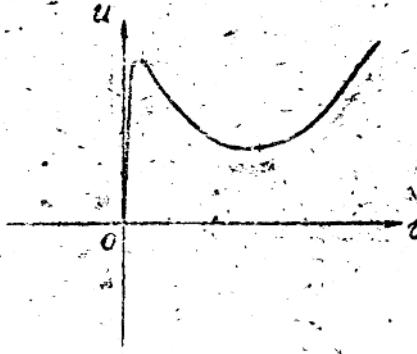


图 1-7

所以在一个周期内白炽灯的电阻实际上也是不变的。灯丝温度随着电流的有效值变化，故其电阻亦随着电流的有效值改变。可见，白炽灯的电压与电流之间的非线性关系，仅仅表现在有效值上；至于电压与电流之间的瞬时值

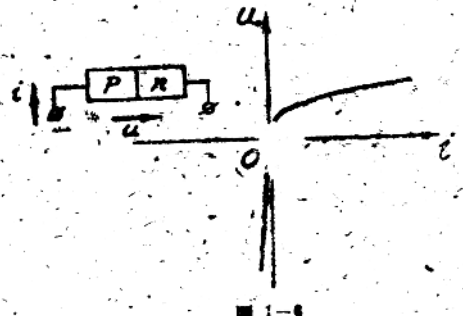


图 1-6

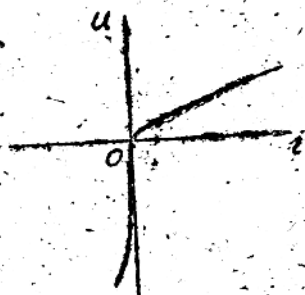


图 1-6

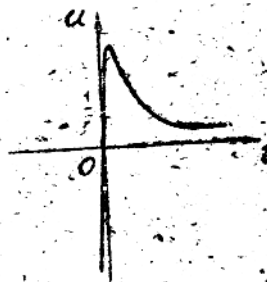


图 1-10

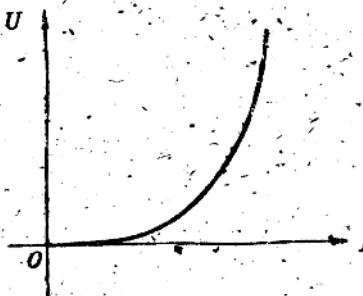


图 1-11

关系，却仍然是线性的。所以，惯性电阻元件的 u 与 i 可以同为正弦波形。

惯性元件的伏安特性是用有效值来表示的。

图 1-11 表示白炽灯的伏安特性。

5] 上述元件都只有两个端钮，它们的伏安特性是不能加以控制的。具有三个端钮的非线性电阻元件，提供了对伏安特性进行控制的可能性。

图 1-12 表示热电真空三极管的伏安特性。由图可见，伏安特性是受栅极电压 u_g 控制的。

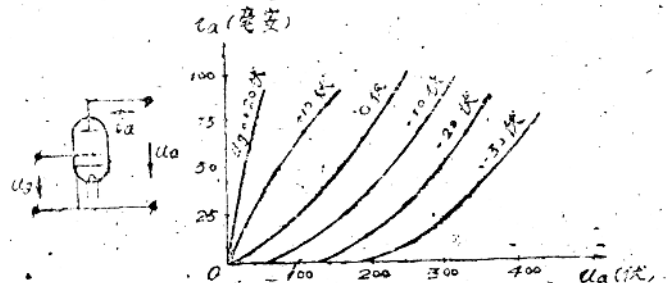


图 1-12

图 1-13 表示晶体三极管的伏安特性。由图可见伏安特性是受射极电流 i_E 控制的。

在图 1-13 中， E 、 B 、 C 分别代表发射极、基极、收集极。图中所表示的是一种共基极电路，亦即输入与输出端钮中都包括基极端钮。特性曲线位于第三象限之内，这说明 u_{CE} 与 i_C 的实际方向和图中所标记的正方向恰恰相反。

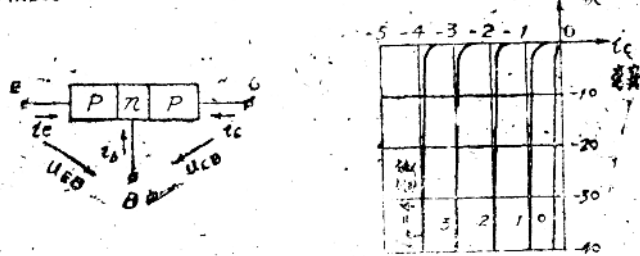


图 1-13

6] 综观以上诸段，我们可以把所提到的非线性电阻元件的伏安特性归纳成限压型的、限流型的、 β 型的。

显然，矽砾胸、晶体二极管具有限压型的伏安特性，它们的特征是当元件内的电流相当大时，其端电压只随着电流作缓慢变化，换言之，电压有被限制在一定范围之内的趋势。热电真空二极管、白熾灯具有限流型的伏安特性，它们的特征是当元件两端的电压相当大时，其中的电流只随着电压作缓慢变化，换言之，电流有被限制在一定范围之内的趋势。

輝光管具有 λ 型的伏安特性。这是因为：假若把伏安特性曲线绘在以*i*为纵座标以*u*为横座标的平面上，那么輝光管的伏安特性便具有 λ 型的特征，这可从图1-7看得出来。

还有一类N型的伏安特性。它的得名是由于元件的伏安特性曲线，在以*i*为纵座标以*u*为横座标的平面上，具有N型的特征。具有N型伏安特性的元件，可用隧道二极管作为代表。隧道二极管又称为江崎二极管，它是由一个*p-n*结形成的。这种*p-n*结的过渡层很薄，通常不超过100 Å，而且*p*型与*n*型半导体内的杂质含量比普通的晶体管浓得多。

图 1-14 表示隧道二极管的伏安特性。

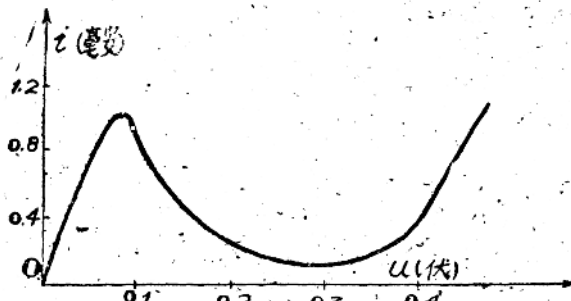


图 1-14

§ 1-3 非线性电感元件

1] 电感元件的特性是用磁通 ψ 与电流*i*之间的关系来说明的。

对于线性电感元件，其 ψ 与*i*之间具有正比关系：

$$\psi = Li$$

其中电感*L*不随*i*或 ψ 变化。

对于非线性电感元件，其 ψ 与*i*之间具有非线性的函数关系：

$$\psi = f(i)$$

上述函数关系有时称为韦(伯)安(培)特性。

韦安特性系从实验中测量出来的，通常用一条曲线来表示。图1-15表示线性电感的韦安特性曲线，图1-16则表示非线性电感的韦安特性。图中还绘出它们的电路符号图。

3. 静态电感
元件的静态电感 $L_{\text{静}}$ 为：

$$L_{\text{静}} = L_s = \frac{\psi}{i}$$

由于非线性元件的 ψ 与*i*之间不是正比关系，故 $L_{\text{静}}$ 是一个随着*i*或u变化的量。从图1-16可以看出， $L_{\text{静}}$ 正比于 $\tan\alpha$ ，即：

$$L_{\text{静}} = L_s = \frac{\psi}{i} = \frac{m_s}{m_i} \tan\alpha$$

其中 m_s , m_i 分别为u与*i*的标度。

为了研究变动情况，兹定义非线性电感元件的动态电感 $L_{\text{动}}$ 为：

$$L_{\text{动}} = L_d = \lim_{\Delta i \rightarrow 0} \frac{\Delta\psi}{\Delta i} = \frac{d\psi}{di}$$

$L_{\text{动}}$ 也是一个随*i*或u变化的量。从图1-16可以看出， $L_{\text{动}}$ 正比于 $\tan\beta$ ，即：

$$L_{\text{动}} = L_d = \frac{d\psi}{di} = \frac{m_s}{m_i} \tan\beta$$

在非线性电感两端所感应的电动势，是用 $L_{\text{动}}$ 来计算的，即：

$$e = -\frac{d\psi}{dt} = -\frac{d\psi}{di} \frac{di}{dt} = -L_{\text{动}} \frac{di}{dt}$$

由于 $L_{\text{动}}$ 仍然是从静态韦安特性上计算出来的，所以它只适用于频率不太高的情况。当频率甚高时，静态韦安特性和动态韦安特性相差很远，



图 1-15

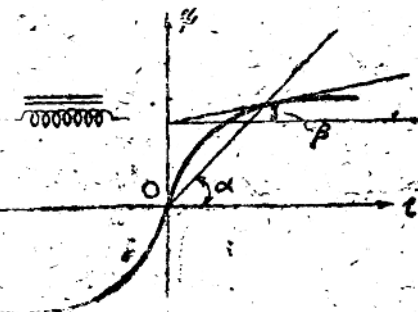


图 1-16

此时按照静态韦安特性进行计算是不准确的。

3] 铁芯线圈是一种最普通的非线性电感元件，它的 Φ ~ i 特性是由铁芯材料的特性、芯子的几何尺寸以及线圈匝数的分布情况等因素来决定的。

以电工矽钢片作为芯子的铁芯线圈，其韦安特性曲线如图 1-17 所示。此外特性曲线具有迴线式的特征。除了饱和磁滞迴线之外，尚有许多非饱和的小迴线，它们的顶点构成了基本韦安特性曲线。

在计算时，为了简单起见，

常用基本韦安特性曲线代替实际上的迴线，这在磁滞迴线的形状比较瘦长时，误差是不大的。

为了进行定性分析，基本韦安特性曲线又常常利用下列解析表达式来表示：

$$i = a_1 \psi + b_1 \psi^3 + c_1 \psi^5 + \dots$$

$$i = a_2 \sin b_2 \psi$$

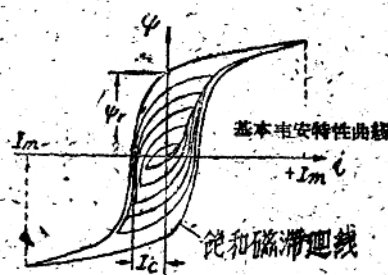


图 1-17

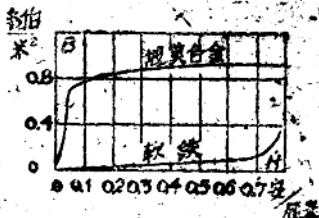
在以上两种表示法中， a_1, b_1, c_1, \dots 以及 a_2, b_2 均为常数；其值可根据实际磁化曲线算出。在上面两种表达式中，第一种用得较多，而且常常只取其开首两项。

4] 有些设备的铁芯工作在微弱的磁场之中，但却要求高度的磁感应强度，电流互感器便是这类设备中的一个例子。这种设备的铁芯，可以用坡莫合金* 制成。坡莫合金是一种铁镍合金，其中镍约占 78.5%。它的最大磁导率可达 $100,000\mu_0 \sim 200,000\mu_0$ 之谱。图 1-18 绘出了坡莫合金与软铁的 B ~ H 磁化曲线。

坡莫合金性能不太稳定，易受机械振动与机械应力的影响。

在高频技术中所用的电感元件，为了减小涡流损耗，其芯子常用磁介质或铁淦氧磁物制成。

把粉状铁磁体和粘合剂混在一起，搅拌均匀后压制而成的芯子称为磁介



1-

* Permalloy

質。磁介質中的鐵磁體可以是碳基鐵或者是銅矽鐵，也能用鐵礦石，它們的作用是提高芯子的導磁系數。磁介質的粘合劑通常是虫胶、酚醛树脂、聚苏合香油或者液态玻璃，它们的作用是把鐵磁粉末結合在一起，并且使粉末之間彼此絕緣以減少渦流。一些磁介質的性能列在表一之中：

表一 若干磁介質的性能

名 称	$\frac{\mu}{\mu_0}$	导磁系数的 温度系数($1/{}^\circ C$)	应用范围
压制碳基铁	8	$+2 \times 10^{-5}$	100兆周以下的各种铁芯。
压制铝矽铁BH-15	15	-7×10^{-5}	50-150千周的各种铁芯。
压制铝矽铁BH-6	6	-4×10^{-5}	45兆周以下的高频线圈的骨架
压制磁铁矿	7	$+15 \times 10^{-5}$	广播与无线电设备的骨架及装甲芯子。

铁淦氧是一种陶瓷，通常是以 $ZnO - Fe_2O_3$ 或者 $NiO - Fe_2O_3$ 作为基本成分。各种氧化物通过研细并调拌后施以模压，然后在 $800 - 1400 {}^\circ C$ 的温度下焙烧，如此便得铁淦氧陶瓷。和磁介质相比，铁淦氧磁物有更大的导磁系数 ($\frac{\mu}{\mu_0}$ 约几百至几千)，同时损耗亦较小。

快速数字计算机中的记忆职能，可以利用铁磁物质的剩余磁性来实现。此时希望材料的 $B-H$ 迴线具有矩形的形状。现代磁放大器也需要这种材料作为芯子。

镁-锌铁淦氧磁物以及经过机械压缩的镁-锌铁淦氧磁物具有和矩形相近的磁滞迴线。图 1-19 表示镁-锌铁淦氧磁物的 $B-H$ 特性。

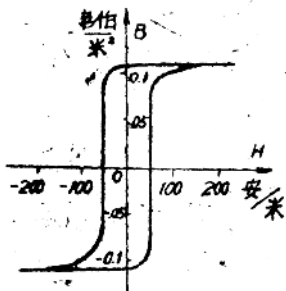


图 1-19

§ 1-4 非线性电容元件

1] 电容元件的特性是用电荷 q 与电压 u 间的关系来说明的。

对于线性电容元件，其 q 与 u 间具有正比关系： $q = Cu$ 。其中电容 C 不

随 u 或 q 变化。

对于非线性电容元件，其 q 与 u 间具有非线性的函数关系： $q = f(u)$ ，这一函数关系可称为极化特性或库(伦)伏(特)特性。

库伏特性系从实验中测量出来的，通常用一条曲线来表示。图 1-20 与图 1-21 分别表示线性与非线性电容元件的库伏特性。图中还给出了它们的电路符号图。

② 定义非线性电容元件的静态电容 $C_{\text{静}}$ 为：

$$C_{\text{静}} = C_s = \frac{q}{u}$$

由于在非线性电容元件中， q 与 u 间没有正比关系，故 $C_{\text{静}}$ 是一个随着 q 或 u 变化的量。从图 1-21 可以看出， $C_{\text{静}}$ 正比于 $\tan\alpha$ ，即：

$$C_{\text{静}} = C_s = \frac{q}{u} =$$

$$= \frac{m_q}{m_u} \tan\alpha,$$

其中 m_q 与 m_u 分别为 q 与 u 的标度。

为了研究变动情况，兹定义非线性电容元件的动态电容 $C_{\text{动}}$ 为：

$$C_{\text{动}} = C_d = \lim_{\Delta u \rightarrow 0} \frac{\Delta q}{\Delta u} =$$
$$= \frac{dq}{du}$$

$C_{\text{动}}$ 也是一个随 u 或 q 变化的量。从图 1-21 可以看出， $C_{\text{动}}$ 正比于 $\tan\beta$ ，即：

$$C_{\text{动}} = C_d = \frac{dq}{du} = \frac{m_q}{m_u} \tan\beta$$

通过非线性电容的电流，是用动态电容来计算的，即：